

全国高等林业院校统编教材

植物化学成分结构的

光谱鉴定

主编：西南林学院

西南林学院

全国高等林业院校统编教材

植物化学成分结构的光谱鉴定

光 谱 鉴 定

主编：西南林学院 安银岭

编委：西南林学院 安银岭 沈小玲

胡英杰 胡旺云

中南林学院 何 明 李忠海

主审人：云南大学 赵树年

审阅人：中科院昆明植物研究所 罗仕德

1997.2. 昆明

目 录

第一章 紫外光谱(UV)	1
§ 1-1 光谱的基础知识	1
一、光的二象性及分类	1
二、分子能级与吸收光谱	6
§ 1-2 紫外光谱	8
一、电子跃迁与 UV	8
二、紫外光谱中几个常用的光谱术语	11
三、吸收带	13
四、共轭体系与吸收波长的关系	14
五、影响 UV 吸收的因素	15
六、不饱和有机化合物的 UV 吸收及计算方法	18
§ 1-3 UV 在鉴定有机化合物结构中的应用	29
一、对化合物结构骨架的印证	30
二、确定共轭体系	31
三、异构体的确定	32
第二章 红外光谱(IR)	35
§ 2-1 IR 的基础知识	35
一、分子振动能级基频跃迁与峰位	36
二、分子的振动自由度与峰数	39
三、分子的偶极矩与峰强	40

§ 2-2 IR 的解析	46
--------------	----

一、IR 的认识	46
二、IR 中的五个重要吸收区段	47
三、芳香族化合物的特征吸收	52
四、红外光谱解析	56

第三章 质谱 (MS) 62

§ 3-1 MS 基础知识	62
---------------	----

一、MS 仪的工作原理	62
二、质谱的表示方法	66
三、质谱仪的几项重要性能指标	67
四、质谱的离子化源	69

§ 3-2 MS 中的主要离子及其开裂	73
---------------------	----

一、分子离子	73
二、碎片离子	81
三、亚稳离子	99
四、同位素离子	105
五、多电荷离子	111

§ 3-3 MS 解析	112
-------------	-----

一、分子式的确定	112
二、MS 解析程序	117
三、天然产物的 MS 解析示例	119

第四章 核磁共振波谱 (NMR) 124

核的自旋与核磁矩 124

外磁场中自旋核的磁能级裂分 125

核磁共振的实现 - 条件及方式 125

饱和及驰豫 129

屏蔽效应 130

- 2 NMR 图谱 131

化学位移 132

影响化学位移的因素 134

吸收峰面积与氢核数目的关系 138

相邻核间的自旋 - 自旋偶合 139

偶合常数的应用 144

低级偶合和高级偶合 150

自旋去偶实验技术 154

- 3 ^1H - NMR 谱解析 155

官能团与质子化学位移的关系 155

 ^1H - NMR 谱解析的一般程序 157 ^1H - NMR 谱解析示例 158- 4 ^{13}C - NMR 谱简介及应用 160各类型 ^{13}C 核的化学位移 161常见的几种 ^{13}C - NMR 谱 162 ^{13}C - NMR 谱在结构解析中的应用 170

第五章 植物成分化学结构的光谱解析 173

一、分子式的确定	174
二、不饱和度	175
三、结构片断的辨认和组接	176
四、母核骨架(碳架)类型确定方法	177
五、结构解析的完成	178
§ 5-3 解析实例	178

参考书目

附录	205
附录一 TLC 及 PC 层析常用显色剂配制及显色方法	205
附录二 常用的显示试剂	211
附录三 各种有机溶剂的一些物理性质	212
附录四 常用溶剂物理常数和精制方法	214
附录五 常用有机溶剂物理常数和精制方法	215
附录六 液体色谱溶剂的性质	216
附录七 常用有机溶剂的二元共沸混合物表	218
附录八 常用有机溶剂的三元共沸混合物表	219
附录九 其它溶剂表	219
附录十 中国药典筛号与筛孔内径、目数对照表	220
附录十一 乙醇浓度稀释表	221
附录十二 碳、氢、氮和氧的各种组合的质量 和同位素丰度比 (Beynon 表)	222
附录十三 高分辨质谱中分子式的计算 (Lederberg 表)	267

第一章 紫外光谱(Ultraviolet spectra, UV)

§ 1. - 1 光谱的基础知识

一、光的二象性及分类

光波是电磁波的一种。而X射线、 γ 射线和无线电波也是电磁波。所有这些电磁波在本质上完全相同，只是波长和频率有所差别。如果把自然界存在的各种不同波长的电磁波按波长顺序列成一谱，即为电磁波谱(表1-1)。

表1-1 电磁波谱

电磁波	波长 cm	λ Å	频率 v Hz	波数 \bar{v} cm^{-1}	能量 E eV	物理现象 (或来源)
γ 射线	10^{-10}	0.01 Å	3×10^{20}	10^{10}	1.2×10^4	
	10^{-9}	0.1 Å	3×10^{19}	10^9	1.2×10^6	↑↓核跃迁(核反应)
X光	10^{-8}	1 Å	3×10^{18}	10^8	1.2×10^4	↑电 子 散 射
	10^{-7}	10 Å	3×10^{17}	10^7	1.2×10^3	↑内 层跃 迁 子
紫外光	10^{-6}	100 Å	3×10^{16}	10^6	124	
	1×10^{-5}	1000 Å	3×10^{15}	10^5	12.4	
	2×10^{-5}	2000 Å	1.5×10^{15}	50000	6.2	
近紫外	4×10^{-5}	4000 Å	7.5×10^{14}	25000	3.1	↑外 层

续表

电 磁 波	波 长 λ cm	频 率 v Hz	波 数 v cm^{-1}	能 量 E eV	物 理 现 象 (或 来 源)
紫	4200 Å	7.1×10^{14}	23800	3.0	电 子 跃 迁
青	4900 Å	6.1×10^{14}	20400	2.5	
绿	5300 Å	5.7×10^{14}	18900	2.3	
黄	5900 Å	5.1×10^{14}	17000	2.1	
橙	6500 Å	4.6×10^{14}	15400	1.9	
红	7500 Å	4.0×10^{14}	13300	1.6	
红 近红外	10^{-4}	3×10^{14}	10000	1, 2	
外 中红外	10^{-3}	3×10^{13}	1000	0.12	分 子 振 动 ↑ 分
光 远红外	10^{-2}	3×10^{12}	100	0.012	
	10^{-1}	3×10^{11}	10	1.2×10^{-8}	
微 波	10mm	3×10^{10}	1	1.2×10^{-4}	子 转 动 ↑ 电 旋 子 运 动
无 线 电 波 (射 频 波)	100mm	3×10^9	0.1	1.2×10^{-5}	
超短波	1m	3×10^8	0.01	1.2×10^{-6}	
	10m	3×10^7	0.001	1.2×10^{-7}	核 磁 运 动
中波	100m	3×10^7	0.0001	1.2×10^{-8}	

无论何种电磁波均具有波 - 粒二象性，既具有波动性，又具有微粒性。光能产生干涉、衍射、偏振等现象，表明了光的波动性；而光电效应则明显地表明了光的微粒性。对不同波长的电磁波而言，波长较长的电磁波如可见光、红外线、无线电波等的波动性较为突出，波长较短的电磁波如X射线、 γ 射线等的微粒性就比较突出。对同一种波长的电磁波而言，则在传播过程中波动性较突出；与物质相互作用时微粒性较突出。对于电磁波的波动性和粒子性的特征，通常用物理量如波长(λ)、频率(v)、速度(V)、波数(n)、能量(E)等来描述。

波长(λ)、频率(v)、速度(V)之间的关系为：

$$\lambda = \frac{V}{v} \quad (1-1)$$

V 为电磁波的传播速度。各种电磁波在真空中传播的速度相同，以C表示，它等于 3.0×10^{10} cm/s。所以(1-1)式可改写成：

$$\lambda = \frac{c}{v} \quad (1-2)$$

频率的单位是赫兹(周/秒)，波长的单位则因波谱区的不同而采用不同的单位。例如X射线区常用(Å)作单位，紫外及可见光区常用纳米(nm)作单位，红外光谱区常用微米(μm)作单位，微波区常用厘米(cm)作单位，无线电谱区常用米(m)作单位。

上述物理量的单位，符号及换算关系列于表1-2。

表1-2 波长、频率、波数的单位、符号及换算

物理量	单 位	符 号	换 算
波长 λ	微米	μ 或 μm	$1 \mu m = 10^{-4} cm$
	纳米(毫微米)	nm	$1 nm = 10^{-3} \mu m = 10^{-7} cm$
	埃	\AA	$1 \text{\AA} = 10^{-8} cm$
频率	周/秒	cps	$1 cps = 1 Hz$
	赫兹	Hz	$1 Hz = 1 cps$
	兆赫兹	MHz	$1 MHz = 10^6 cps$
波数 v	厘米的倒数	cm^{-1} 或 v	$cm^{-1} = 1/\lambda$

此外，各种不同波长光子的能量用 E 表示。光子的能量与波长或频率有关，这一关系由普朗克公式给出

$$E = h v = h \frac{c}{\lambda} = hc \nu \quad (1-3)$$

(1.-3)式中h为普朗克常数,它等于 6.6262×10^{-27} erg·s(或等于 6.6262×10^{-34} J·s)。由上式可以看出,电磁波的频率愈高或波长愈小,则光子的能量就愈高。所以,电磁波的频率、波长或波数也是其能量高低的量度标尺。表1.-1的数据已清楚地说明了此点。能量E的常用单位是电子伏特(eV)、尔格(erg)、焦耳(J)或卡(cal)。其相互关系是:

$$1\text{eV} = 1.60210 \times 10^{-12}\text{erg}$$

$$= 1.60210 \times 10^{-19}\text{J}$$

$$1\text{eV} = 3.827 \times 10^{-20}\text{cal}$$

通过(1.-3)式,可方便地计算各种不同波长或频率辐射光子的能量,现举例说明。

例 试计算波长为7500A°的可见光辐射的光子能量是多少eV?

解

$$E = hc/\lambda$$

$$= 6.626 \times 10^{-27}\text{erg}\cdot\text{s} \cdot \frac{3.0 \times 10^{10}\text{cm}/\text{s}}{7500 \times 10^{-8}\text{cm}}$$

$$= 2.5 \times 10^{-12}\text{erg}$$

$$= 1.56\text{eV}$$

表1.-1中所列的各种电磁波中,以γ射线能量最高,其次是X射线,能量最低的是无线电波。当这些电磁波与物质相互作用时,由于其能量不同,产生的物理现象亦不同,由此就建立了各种不同的光谱分析方法。诚然,这些方法亦可根据光谱呈现的类型而分类。一般来说,光谱可分成吸收、发射和喇曼光谱三种基本类型。表1.-3列举了按这种分类的各种光谱分析方法。

由此可见,本章所讨论的紫外光谱属于吸收光谱的范畴。

表1-3 按光谱类型分类的各种光谱分析法

吸收光谱	发射光谱	喇曼光谱(综合散射光谱)
紫外与可见分光光度法	光焰光度法	喇曼光谱分析法
红外分光光度法	发射光谱分析法	
原子吸收光谱法	荧光分析法	
微波波谱分析法	磷光分析法	
圆二色性光谱法	X-射线发射光谱法	
X-射线吸收光谱法	γ-射线光谱法	
电子自旋共振法		
莫斯鲍尔光谱法		

二、分子能级与吸收光谱

分子和原子一样，也有它的特征分子能级。分子内部的运动可分为价电子运动，分子内原子在平衡位置附近的振动和分子绕其重心的转动。因此分子具有电子能级、振动能级、和转动能级。对于双原子分子的电子、振动、转动能级如图1-1所示。图中A和B是电子能级，在同一电子能级A，分子的能量还因振动能量的不同而分若干“支级”，称为振动能级。图中 $V=0, 1, 2, \dots$ 等即为电子能级A的各振动能级。而 $V'=0, 1, 2, \dots$ 为电子能级B的各振动能级。分子在同一电子能级和同一振动能级时，它的能量还因转动能量的不同而分为若干“分级”，称为转动能级。图中 $j'=0, 1, 2, \dots$ 等即为A电子能级和 $V'=0$ 振动能级的转动能级。所以分子的能量E等于下列三项之和：

$$E = E_e + E_v + E_r \quad (1-4)$$

式中 E_e 、 E_v 、 E_r 分别代表电子能、振动能和转动能。

分子从外界吸收能量后，就能引起分子能级的跃迁，即从基态能级跃迁到激发态能级。分子吸收能量同样具有量子化的特征，即分子只能吸收等于二个能级之差的能量：

$$\Delta E = E_2 - E_1 = h v = hc / \lambda \quad (1-5)$$

由于三种能级跃迁所需能量不同，所以需要不同波长的电磁辐射使它们跃迁，即在不同的光学区出现吸收谱带。

电子能级跃迁所需的能量较大，其能量一般在 $1\sim 20\text{eV}$ 。如果 5eV ，则由式(1-5)可计算相当的波长：

$$\text{已知 } h = 6.626 \times 10^{-34}\text{J.S} = 4.136 \times 10^{-15}\text{eV.S}$$

$$c = 3.0 \times 10^{10}\text{cm/s}$$

$$hc = 4.136 \times 10^{-15} \times 3.0 \times 10^{10}$$

$$\text{故 } \lambda = \frac{hc}{\Delta E} = \frac{4.136 \times 10^{-15} \times 3.0 \times 10^{10}}{5} = 2.48 \times 10^{-5}\text{cm} = 248\text{nm}$$

可见，由于电子能级跃迁而产生的吸收光谱主要处于紫外及可见光区($200\sim 780\text{nm}$)。这种分子光谱称为电子光谱或紫外及可见光谱。

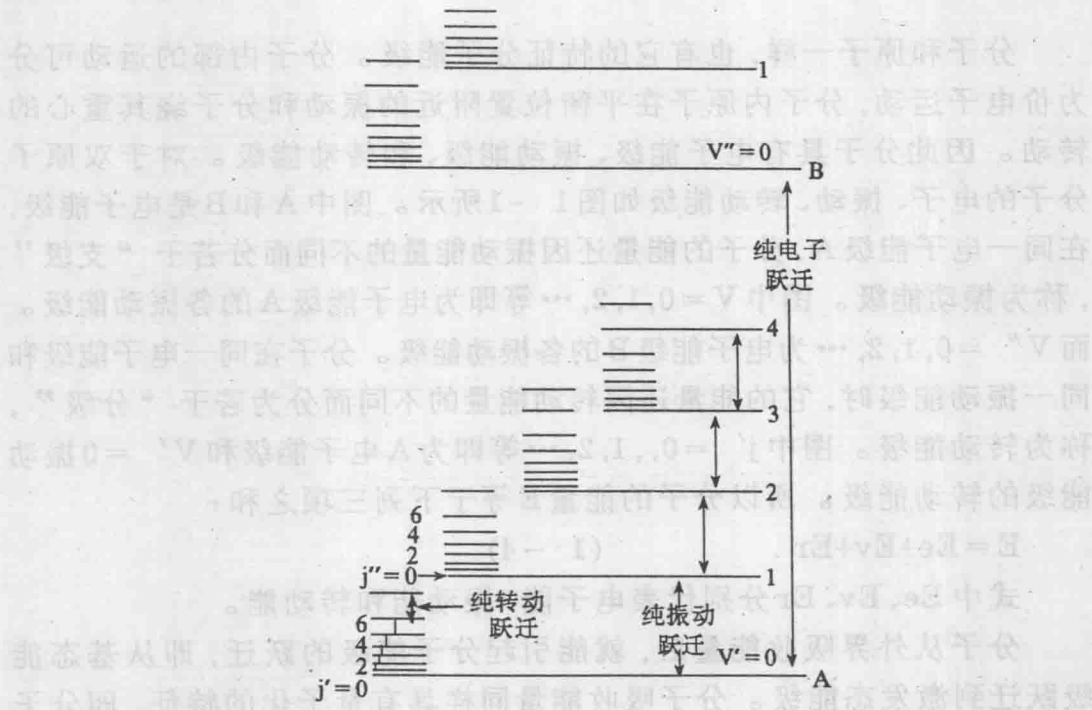


图 1-1 双原子分子的三种能级跃迁示意图(实际上电子能级间隔要比图示大得多，而转动能级间隔要比图示小得多。)

在电子能级跃迁时不可避免地要产生振动能级的跃迁。振动能级的能量差一般在 $0.025\sim 1\text{eV}$ 之间。如果能量差是 0.1eV , 则它为 5eV 的电子能级间隔的 2% , 所以电子能级的跃迁并不是产生一条波长为 248nm 的线, 而是产生一系列的线, 其波长间隔约为 $248 \times 2\% = 5\text{nm}$ 。

实际上观察到的光谱要复杂得多。这是因为还伴随着转动能级跃迁的缘故。转动能级的间隔一般小于 0.025eV 。如果间隔是 0.005eV , 则它为 5eV 的 0.1% , 相当的波长间隔是 $248 \times 0.1\% = 0.25\text{nm}$ 。可见分子光谱远较原子光谱复杂。紫外光谱一般包含有若干谱带系, 不同的谱带系相当于不同的电子能级跃迁。一个谱带系(即同一电子能级跃迁, 如由能级A跃迁到能级B)含有若干个谱带, 不同谱带相当于不同的振动能级跃迁。同一谱带内又包含有若干谱线, 每一条谱线相当于转动能级跃迁, 它们的间隔如上所述约为 0.25nm 。一般分光光度计的分辨率, 观察到的为合并成较宽的带, 所以分子光谱是一种带状光谱。不同波长范围的电磁波所能激发的分子和原子的运动情况如表1-1所示。

§ 1-2 紫外光谱(UV)

紫外光波包括 $4\sim 400\text{nm}$ 范围。紫外区又可再分为近紫外区($200\sim 400\text{nm}$)和远紫外区($4\sim 200\text{nm}$)。由于空气中氧、氮、二氧化碳和水对远紫外区光波有吸收, 为了避免这些物质的干扰, 远紫外区的测试操作必须在真空中进行。因此这一区域波段又称为真空紫外区。一般用于有机分析的是近紫外光谱。相对说来, 紫外光谱在反映分子结构特征性方面不及红外光谱, 但是它的灵敏度高, 对芳香化合物或共轭系统有特征性, 所以紫外光谱在天然产物的结构研究中得到广泛应用。

一、电子跃迁与UV

紫外吸收光谱是由于分子吸收光能后, 分子中的价电子在不同的分子轨道之间跃迁产生的。分子轨道可以认为是原子轨道相互作用而形成的。如图1-2所示, 两个s原子轨道组成两个分子轨道, 这两个

分子轨道称为 σ 轨道，排布在 σ 轨道上的电子称为 σ 电子。两个分子轨道中，其中一个分子轨道（即 σ 分子轨道）是由两个 s 原子轨道重叠相加而成，因而原子核之间电子云密度增大，对两个原子核的吸引力增强，降低了两个核间的正电排斥，使体系能量降低。另一个分子轨道（即 σ^* 分子轨道）是由两个 s 原子轨道重叠相减而成，因而原子核之间的电子云密度减小，使体系能量升高。前者称为成键轨道，用符号 σ 表示，后者称为反键轨道，用 σ^* 表示。

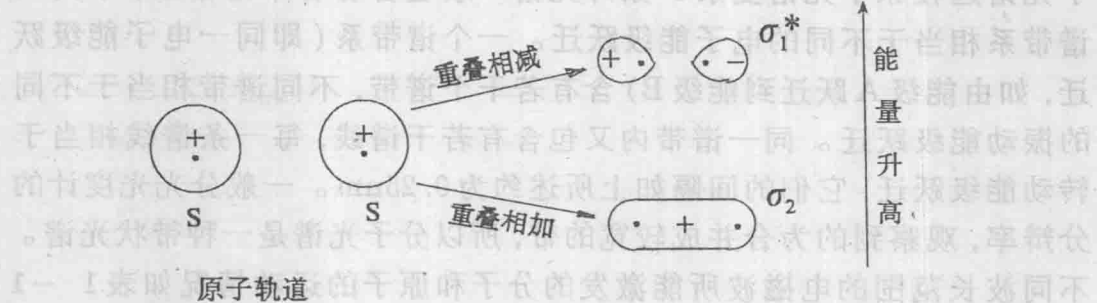


图 1-2 2个S原子轨道形成的分子轨道

当两个 p 原子轨道平行地重叠起来，组成两个分子轨道时，该分子轨道称为 π 轨道，同样地， π 轨道也有成键轨道和反成键轨道，分别用符号 π 和 π^* 表示。成键 π 轨道能量较低，反键 π^* 轨道能量较高。图 1-3 表示了 π 分子轨道的形成。

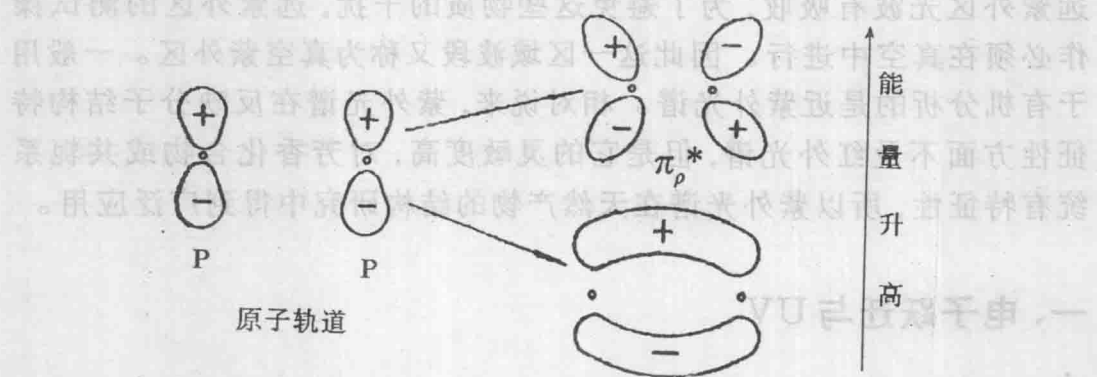


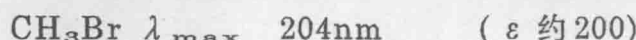
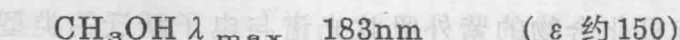
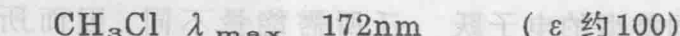
图 1-3 由 p-p 原子轨道重叠形成的 π 分子轨道

由上所述，排布在不同分子轨道上的价电子具有不同的能量，处于低能级的价电子吸收一定能量之后就会跃迁到较高能级。下面介绍电子跃迁的类型。

1. $\sigma \rightarrow \sigma^*$ 跃迁：由于在分子轨道中， σ 成键轨道的能量比 π 成键轨道和孤对电子所占的 n 轨道的能量低； σ^* 反键轨道的能量较 π^* 反键轨道能量高。因此，分子中成键 σ 轨道上的价电子跃迁到反键 σ^* 轨道所需要的的能量很大。由(1-6)式可知，电子跃迁的能量越大，激发这一跃迁所需波长越短。 $\sigma \rightarrow \sigma^*$ 跃迁所需波长通常小于 200nm。能发生 $\sigma \rightarrow \sigma^*$ 跃迁的是含有 σ 键的结构单位，如 C-C 键，C-H 键等。例如甲烷中 C-H 键的 λ_{\max} 为 125nm，乙烷中 C-C 键的 λ_{\max} 为 135nm。

仅仅能够产生 $\sigma \rightarrow \sigma^*$ 跃迁的化合物在 200~1000nm 范围内没有吸收带，故这一类物质在紫外光谱测定中作为溶剂，如己烷、庚烷、环己烷等。

2. $n \rightarrow \sigma^*$ 跃迁：由于分子中 n 轨道的能量较 σ 成键轨道的能量高，因此， $n \rightarrow \sigma^*$ 跃迁比 $\sigma \rightarrow \sigma^*$ 跃迁所需能量低，吸收波长较长，一般在 150~250nm 范围内。例如：



由上述例子可以看出，具有 $n \rightarrow \sigma^*$ 跃迁的化合物中，一部分吸收波长小于 200nm，在远紫外区，另一部分吸收波长大于 200nm，在近紫外区。其主要是原子的电负性不同。原子的电负性越强，对电子控制牢，激发电子所需的能量大，则吸收波长短；反之，原子的电负性弱，吸收光的波长向长波方向移动。

3. $\pi \rightarrow \pi^*$ 跃迁：含有 π 电子的基团能发生 $\pi \rightarrow \pi^*$ 跃迁。如 $>\text{C}=\text{C}<$, $-\text{C}\equiv\text{C}-$ 等。 $\pi \rightarrow \pi^*$ 跃迁比 $\sigma \rightarrow \sigma^*$ 跃迁所需能量低。非共轭的简单 $\pi \rightarrow \pi^*$ 跃迁吸收波长较短，如乙烯的 $\pi \rightarrow \pi^*$ 跃迁， λ_{\max} 为 165nm，但吸收强度很大， ε 为 10000。具有共轭双键的化合物， $\pi \rightarrow \pi^*$ 跃迁吸收波长向长波方向移动。

4. $n \rightarrow \pi^*$ 跃迁：非键 n 轨道的能量较 σ 轨道和 π 成键轨道的能量

高，而 π^* 反键道较 σ^* 反键轨道能量低。因此， $n \rightarrow \pi^*$ 跃迁是上述几种电子跃迁中所需能量最低的一种。吸收带通常出现在 200~400nm 之间，吸收强度弱， ϵ 在 10~100 之间。例如丙酮在 279nm 时的谱带即属于这种类型，其 ϵ 为 15。

上述四种类型的电子跃迁，如果按照电子跃迁所需能量大小进行排列，其顺序为：



可用电子能级跃迁示意图 1-4 表示。

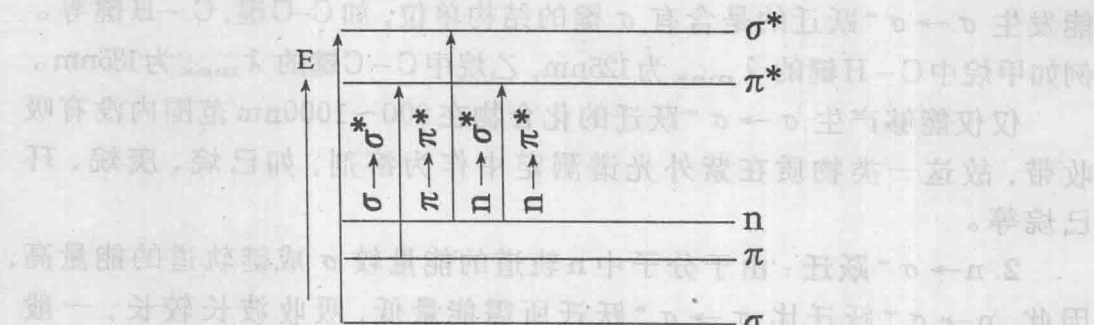


图 1-4 电子能级跃迁示意图

由图 1-4 可见，不同类型的电子跃迁所需能量不同，因而所吸收光的波长亦不同。有机化合物的紫外吸收光谱与电子跃迁的类型有着十分密切的关系。

二、紫外光谱中几个常用的光谱术语

1、生色团：有机化合物分子结构中含有 $\pi \rightarrow \pi^*$ 或 $n \rightarrow \pi^*$ 跃迁的基团，在紫外光区或可见光区产生吸收，如 C=C, C=O, C=N 和 N=O 等称为生色团。表 1-4 列出了某些生色团的吸收数据。

2、助色团：若化合物中引进氧、氮、硫、卤素等原子基团，能使吸收波长向长波方向移动，并使吸收强度增加，这种基团称为助色团，常见的助色团有 $-NH_2$, $-OH$, $-OR$, $-SH$, $-SR$, $-Cl$, $-Br$, $-I$ 等。

3、红移：由于共轭作用，引入助色团以及溶剂改变等原因，使吸收峰波长向长波方向移动。